

مقایسه‌ی عملکرد راکتور جریان افقی با بستر ثابت بی‌هوازی (HAIS)

و راکتور بستر لجن بی‌هوازی با جریان رو به بالا (UASB)

با استفاده از سوبستره سنتتیک

ابوبکر کیان (دانشیار)

انستیتو تحقیقات آب و انرژی، دانشگاه صنعتی شریف

محمد مهدی امین (استادیار)

بیژن بینا (دانشیار)

حسین موحدیان (دانشیار)

گروه مهندسی بهداشت محیط، دانشکده بهداشت، دانشگاه علوم پزشکی اصفهان

در این مطالعه کارایی دو نوع راکتور بی‌هوازی، شامل UASB به عنوان فرایند رشد معلق و HAIS به عنوان فرایند رشد چسبیده، باهم مقایسه شد. آزمایشات بر روی سه راکتور در مقیاس آزمایشگاهی، شامل ۲ راکتور HAIS با حجم ۲ و ۳/۳ لیتر و یک راکتور UASB با حجم ۳/۳ لیتر، انجام شد. در راکتور HAIS-PU از گرانول پلی‌یورتان (PU) با نسبت سطح به حجم (A/V) برابر $1100\text{m}^3/\text{m}^3$ و راکتور HAIS-PE از قوم پلی‌اتیلن (PE) با نسبت سطح به حجم (A/V) برابر $1250\text{m}^3/\text{m}^3$ استفاده شد. از گرانول‌های لجن تصفیه‌کننده فاضلاب کشتارگاه با VSS برابر $1750 \pm 250\text{mg/l}$ بـ mg/l به عنوان بارگذارکننده، و از گلوکز همراه با مواد مغذی ضروری با COD برابر $100 \pm 30^\circ\text{C}$ در سه دوره ۱۰۰ روزه از بارگذاری‌های کمتر از 1kgCOD/m^3 با میزان بیومس $11/5 - 13\text{kgVSS/m}^3$ آغاز شد. به منظور پی‌برین به‌نحوی شکل‌گیری بیوفیلم در اطراف دانه‌های بستر نگهدارنده از مقاطع مختلف راکتورهای HAIS تصویربرداری CT-Scan انجام شد.

نتایج این مطالعه عملکرد مطلوب راکتور HAIS به منظور فراهم آوردن شرایط محیطی مناسب برای رشد و ماند بیومس در طول مدت زمان راه‌اندازی کوتاه‌مدت ۲۵ روزه را تأیید کرد. در دوره بهره‌برداری مطلوب، بارگذاری راکتورها عبارت بود از: میزان بارگذاری آلى $13 \pm 2\text{gCOD/d}$ و نسبت غذا به ریزاندامگان $1/34 \pm 0/82\text{gCOD/g VSS-d}$ (F/M) برابر UASB. میزان بارگذاری سطحی $12 \pm 1\text{gCOD/m}^2$ ، و نسبت غذا به ریزاندامگان $1/72 \pm 0/77\text{gCOD/g VSS-d}$ برابر راکتور HAIS-PU. و میزان بارگذاری سطحی $28 \pm 12\text{gCOD/m}^2$ (SLR) برابر d . نسبت غذا به ریزاندامگان $1/52 \pm 0/99\text{gCOD/gVSS-d}$ برابر راکتور HAIS-PE. در این بارگذاری‌ها، بازده حذف COD و میزان تولید بیوگاز عبارت بود از: $15/5 \pm 17/5\text{ml/d}$ برای HAIS-UP و $116 \pm 30\text{ml/d}$ برای HAIS-UP. نتایج این برسی نشان داد که راکتور UASB با حفظ لجن دانه‌بندی شده در طول مدت زمان راهبری، و همچنین با دارا بودن قسمت کارامد جداکننده کاز-مایع (GLS)، عملکرد بهتری از راکتورهای HAIS حاوی لجن تثبیت شده^۱ و با بهره‌گیری از دو جمع‌آوری‌کننده بیوگاز با دو شکل مختلف: لوله‌ی سوارخ‌دار (HAIS-PU) و صفحه‌ی شیاردار HAIS-PE است. در بین دو راکتور HAIS، عملکرد راکتور HAIS-PU بهتر از راکتور HAIS-PE بود. این برتری می‌تواند به تخلخل بیشتر بستر (ϵ) در راکتور HAIS-PU ($\epsilon = 0/22$) و پایین‌تر بودن احتمال ایجاد اتصال کوتاه هیدرولیکی نسبت به راکتور HAIS-PE ($\epsilon = 0/28$) مرتبه باشد.

در این راکتورها شرایط برای بهره‌برداری در زمان ماند سلولی بالا و کاربرد فرایندهای پیشرفته تصفیه بی‌هوازی فاضلاب‌های صنعتی در زمان ماند هیدرولیکی کم، فراهم می‌آید. شکل جدیدی از بیوراکتورهای بستر ثابت بی‌هوازی با ظرفیت بالای ماند بیومس در دهه‌ی اخیر پیش‌شده شده است.^[۲] محققان راکتور جریان افقی با بستر لجن ثابت بی‌هوازی (HAIS) حاوی اسفنج پلی‌یورتان را مورد آزمایش قرار دادند.^[۳] مطالعات دیگری بر روی فاضلاب صنایع کاغذسازی^[۴] و سوبستره گلوکز تحت شرایط بهره‌برداری مختلف

مقدمه
کاربرد فرایندهای پیشرفته تصفیه بی‌هوازی فاضلاب‌های صنعتی در سال‌های اخیر روبه فزوونی گذاشته است. علت این امر عدمتاً سادگی راهبری، هزینه‌ی پایین، و انرژی مصرفی بدمراتب کمتر در مقایسه با سیستم‌های هوازی است. راکتورهای بستر بی‌هوازی با جریان رو به بالا (UASB) و فیلترهای بی‌هوازی نمونه‌هایی از این سیستم‌ها هستند که براساس مفهوم بیومس ثابت مورد استفاده قرار گرفته‌اند.^[۱]

ج) راکتور UASB با حجم $2/3$ لیتر، مركب از لوله‌یی از جنس پلکسی گلاس به طول ۱ متر و قطر 65 میلی‌متر ساخته شد. برای جداسازی پساب از قیف به حجم 150 ml از جنس پلکسی گلاس متصل به لوله PVC با قطر 10 میلی‌متر دارای چندین سوراخ با قطر 7 میلی‌متر در قسمت پایین لوله به منظور هدایت پساب از داخل راکتور به داخل قیف، استفاده شد. گاز حاصله در بالای راکتور در زیر قیف جمع آوری پساب، جمع شد و توسط لوله‌یی با قطر 10 میلی‌متر به داخل گازهای هدایت شد (شکل ۱ج).

به منظور دست‌یابی به شرایط پایدار در سیستم و برقراری دبی و بارگذاری یکنواخت در سه راکتور، در طول شباهه روز از دو دستگاه پمپ تزریقی و یک دستگاه پمپ چکانه^۳ استفاده شد. برای تثبیت دمای راکتورها و سوبستره‌ی ورودی، در اطراف هر سه راکتور، سه حمام آب گرم ساخته شده و با استفاده از سه گرم کننده دمای راکتورها در تمام طول مطالعه در محدوده $30 \pm 20^\circ\text{C}$ حفظ می‌شد. دمای سوبستره نیز با تعییه‌ی گرم کننده در مخزن ذخیره‌ی سوبستره در محدوده $30 \pm 20^\circ\text{C}$ نگهداری

انجام شد.^[۵] در هر دوی این تجربه‌ها، مدت زمان راهاندازی کمتر از 10 روز بود و شبکه‌ی اسفنجی پلی‌بورتان محیط خوبی را برای رشد و ماند بیومس فراهم می‌آورد.^[۶] چندین ماده‌ی نگهدارنده به عنوان بستر برای ثابت نگهداشت سلول‌ها^۷ در راکتورهای مختلف برای تصفیه‌ی بی‌هوایی فاضلاب مورد استفاده قرار گرفته است.^[۷] در بین آنها می‌توان به ژل آگار، اکریل آمید، مواد سرامیکی متخلخل، و اسفنج پلی‌بورتان اشاره کرد.^[۸-۱۰] شایان ذکر است که بیومس به ماده‌ی نگهدارنده می‌چسبد و از شسته و خارج شدن سلول‌ها که عامل عدم کارایی فرایند است، پیشگیری می‌کند.^[۱۱] در مطالعات اخیر، مدل ریاضی و معیارهای طراحی راکتور HAIS برای تصفیه‌ی فاضلاب و تأثیر انتقال جرم مایع بر روی راکتور بیوراکتور بستر ثابت برای تصفیه فاضلاب مورد بررسی قرار گرفته است.^[۱۲]

هدف از انجام این طرح، تعیین کارایی فرایند HAIS و مقایسه‌ی آن با فرایند UASB در شرایط مختلف راهبری است. اثر تخلخل بستر بر روی بازده دو آکنه مختلف نیز مورد بررسی قرار می‌گیرد.

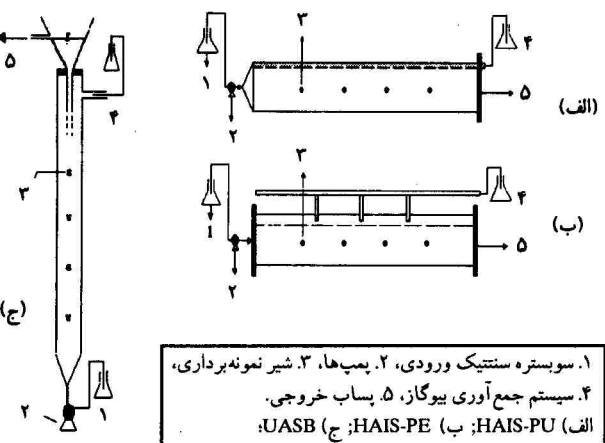
مواد و روش‌ها

با استفاده از سوبستره‌ی سنتیک ($\text{COD} = 1750 \pm 250 \text{ mg/l}$) سه راکتور آزمایشگاهی (دو راکتور HAIS و یک راکتور UASB) در دبی‌های متغیر (بارگذاری‌های آلوی و هیدرولیکی مستقابت) مورد مطالعه قرار گرفت. بر حسب بازده حذف COD و تولید گاز و دیگر داده‌های به دست آمده مبانی طراحی محاسبه شد:

(الف) یک راکتور جریان افقی با بستر ثابت لجن ثابت بی‌هوایی (HAIS-PU) در مقایسه آزمایشگاهی با حجم 2 لیتر مركب از یک لوله‌ی شیشه‌ی به طول یک متر و قطر 5 سانتی‌متر ($L/D = 20$) ساخته شد. در داخل این لوله، لوله‌ی دیگری با قطر $9/0$ سانتی‌متر برای جمع آوری گاز در قسمت بالای لوله تعییه شد. برای تزریق فاضلاب با دبی مشخص به راکتور، یک پمپ تزریقی (Peristaltic) مورد استفاده قرار گرفت (شکل ۱الف). مشخصات پس‌تر نگهدارنده (آکنه) در جدول ۱ ارائه شده است.

(ب) راکتور HAIS دوم (HAIS-PE) با حجم $2/3$ لیتر، مركب از لوله‌یی از جنس پلکسی گلاس به طول 1 متر و قطر 65 میلی‌متر ($L/D = 15/5$) ساخته شد. در این راکتور، لوله‌ی پلاستیکی جمع آوری گاز، با قطر $15/0$ سانتی‌متر در طول راکتور، اما در خارج از آن تعییه شد و با ایجاد سه منفذ در طول راکتور، به یکدیگر ارتباط داده شد. ضمناً در ارتفاع 15 میلی‌متری از بالای راکتور یک صفحه‌ی جداکننده‌ی سوراخ دار به منظور جلوگیری از ورود فاضلاب و لجن و بستر نگهدارنده به داخل منافذ خروج گاز، تعییه شد (شکل ۱ب).

جدول ۱. مشخصات آکنه‌ها در راکتورهای HAIS.



شکل ۱. شماتیک راکتورهای HAIS-PU & PE و UASB

فom پلی‌ایتیلن (PE)	گرانول پلی‌بورتان (PU)	
۲/۵	۲/۵	قطر دانه‌های بستر (میلی‌متر)
۴۲	۲۸	تخلخل بستر %
۱۲۵۰	۱۱۰۰	نسبت سطح به حجم m^2/m^3
۲/۵	۱/۵	سطح بستر متر مربع
۱۲	۷۰۰	دانسیته بستر گرم بر لیتر
۱۹۰۰	۱۴۰۰	حجم بستر میلی‌لیتر

نحوه‌ی شکل‌گیری بیومس بر روی بستر (گرانول پلی یورتان و فوم پلی‌اتیلن) از مقاطع مختلف دو راکتور HAIS سی‌تی اسکن (دستگاه مدل SCT-۲۵۰۰ T) شد. ترکیب بیوگاز با استفاده از روش کروماتوگرافی گازی مجهز به آشکارسازهای FID و TCD تعیین شد.

نتایج و بحث

لجن با رور کننده اولیه به منظور سازگار شدن با گلوکز به مدت یک ماه در راکتور UASB، با بارگذاری کمتر از $1\text{ kg COD/m}^3\cdot\text{d}$ سپس مقدار ۱۴۰۰ mL آن با $VSS = ۶\text{ g/g}$ معادل ۹۰ ml به میزان ۳۰% حجم راکتور به همراه ۱۴۰ mL گرانول پلی یورتان در درون راکتور HAIS-PU ریخته شد. در راکتور HAIS-PE مقدار ۹۵ ml لجن دانه‌بندی شده با همان مشخصات معادل ۳۰% حجم راکتور به همراه

مقدار ۱۹۰ ml فوم پلی‌اتیلن ریخته شد.

راهاندازی سه راکتور با بارگذاری آلتی $7/2\text{ kg COD/m}^3\cdot\text{d}$ در راکتور UASB و بارگذاری سطحی آلتی $1\text{ kg COD/m}^3\cdot\text{d}$ در راکتورهای HAIS-PU&PE آغاز شد. بارگذاری‌های آلتی اولیه در راکتورهای HAIS-PU&PE حدود $2\text{ kg COD/m}^3\cdot\text{d}$ بود زیرا از لجن سازگار شده راکتور UASB برای باروری دو راکتور HAIS استفاده شد.

داده‌های مربوط به عملکرد سه راکتور در طی مدت ۳۲۰ روز در سه دوره شامل دوره‌ی راهاندازی، عملکرد مطلوب، و خداکثر بارگذاری در جدول ۳ آرائه شده است.

جدول ۲. ترکیب سوبستره سنتیک.

نام ترکیب	غلاظت (mg/l)
گلوکز	۱۷۵۰
کلرور سدیم	۴۴/۵
کلرور کبالت	۰/۰۸
کلرور فریک	۰/۵
دی سدیم هیدروژن فسفات	۳۲/۴
دی پتاسیم هیدروژن فسفات	۲۱/۷۵
پتاسیم دی هیدروژن فسفات	۸/۵
استات آمونیوم	۴۰۰
بیکرنتات سدیم	۴۰۰۰
سولفات فرو	۵۰
سولفات منیزیم	۲۵/۵

می‌شد. سه راکتور با استفاده از لجن دانه‌بندی شده بارور شده و با تغذیه‌ی پیوسته با استفاده از سوبستره سنتیک راهاندازی شد. سوبستره سنتیک مشکل از ترکیبات ذکر شده در جدول ۲ با $COD = ۱۷۵۰ \pm ۲۵۰\text{ mg/l}$ بود.

آزمایشات شامل COD محلول ورودی و پساب سه راکتور، SS و VSS بستر لجن راکتور UASB بود که براساس روش‌های مندرج در کتاب روش‌های استاندارد^(۱) انجام شد. نمونه‌های COD با استفاده از دستگاه DR-۲۰۰۰ آنالیز شد. بیوگاز با استفاده از گاز متر ساده با روش جایگزینی گاز-مایع اندازه‌گیری شد. بهمنظور بررسی

جدول ۳. عملکرد راکتورهای UASB و HAIS

فاز	راکتور	روزهای دوره	HRT,hr	F/M g COD/g VSS.d	SLR g COD.m ^{-۲} .d ^{-۱}	درصد حذف COD	محصول بیوگاز ml/d
۱	HAIS-PU	۱-۱۲۰	$۲/۰۸ \pm ۲/۷۴$	$۰/۸۴ \pm ۰/۳$	۱۲ ± ۵	$۵۱/۸ \pm ۲/۲$	$۵۱/۸ \pm ۲/۲$
۲		$۱۲۱-۲۲۰$	$۲/۴۹ \pm ۱/۲۸$	$۱/۷۲ \pm ۰/۷۷$	۲۸ ± ۱۲	$۶۲/۵ \pm ۱۷/۵$	۱۱۶۰ ± ۴۰۰
۳		$۲۲۱-۳۲۰$	$۱/۲۱ \pm ۰/۷۸$	$۳/۱۴ \pm ۱/۰۲$	۵۰ ± ۱۶	$۵۱/۶ \pm ۲/۲$	$۵۱/۶ \pm ۲/۲$
۱	HAIS-PE	-	-	-	-	-	-
۲		-	-	-	-	-	-
۳		$۲۵۰-۳۲۰$	$۰/۳۲ \pm ۰/۰۸$	$۱/۵۲ \pm ۰/۹۹$	۲۳ ± ۱۴	$۶۱/۶ \pm ۱۸/۶$	۱۰۱۸ ± ۶۴۵
	UASB				OLR g COD.l ^{-۱} .d ^{-۱}		
۱		$۱-۱۲۰$	$۹/۰۴ \pm ۷/۶۸$	$۰/۲۳۵ \pm ۰/۱۰۳$	$۴/۰۲ \pm ۱/۷۱$	$۴۱/۹ \pm ۱/۶$	$۴۱/۹ \pm ۱/۶$
۲		$۱۲۱-۲۲۰$	$۴/۷۱ \pm ۲/۶۳$	$۱/۲۴ \pm ۰/۸۲$	$۱۲/۸ \pm ۶/۲۶$	$۶۴/۳ \pm ۱۵/۲$	۱۷۷۱ ± ۷۰۴
۳		$۲۲۱-۳۲۰$	$۱/۱۰ \pm ۱/۱۶$	$۴/۸۵ \pm ۱/۶۱$	$۲۱/۲۷ \pm ۶/۸۳$	$۵۷/۸ \pm ۲۶/۳$	$۵۷/۸ \pm ۲۶/۳$

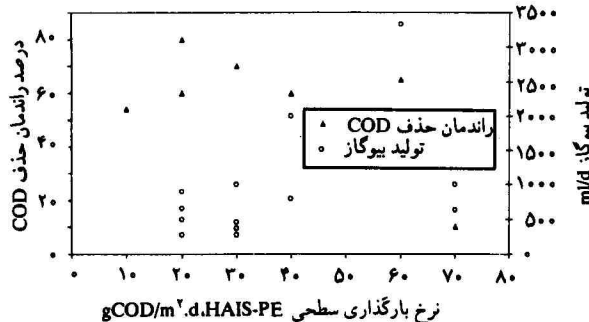
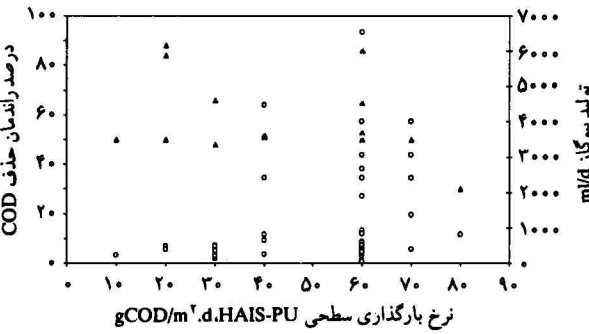
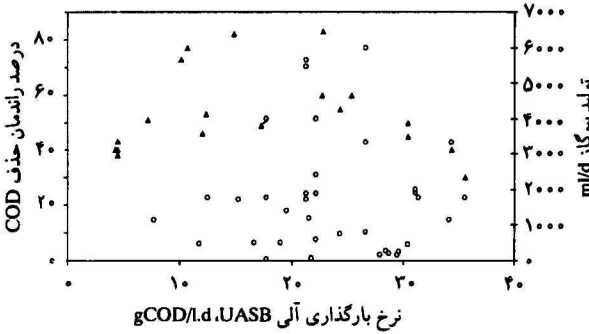
(۱) دوره راهاندازی، (۲) دوره عملکرد مطلوب، (۳) دوره بارگذاری حداقل بارگذاری آلتی سطحی (SLR)، بارگذاری آلتی حجمی (OLR)، نسبت غذا به ریزاندامگان (F/M).

بیومس راکتور مشکل ساز است. غلظت لجن در هنگام راه اندازی در راکتورهای UASB، HAIS-PU، و HAIS-PE به ترتیب $11/5$ ، 14 ، و 3 بود. گستره‌ی وسیع غلظت لجن 3 برای فرایندهای بستر ثابت گزارش شده است. در اغلب سیستم‌های بیوفیلمی، حداکثر حذف سوبستره برمبنای استثنایات قابل توجهی، از جمله فاضلاب‌های غنی از استات، گزارش شده است.

چنان که در شکل ۲ دیده می‌شود، به دنبال هر مرحله افزایش بارگذاری آلی سطحی (در راکتورهای بستر ثابت) و حجمی (در راکتور)، ابتدا راندمان حذف و همچنین تولید بیوگاز کاهش می‌یابد، اما بعد از سپری شدن مدتی کوتاه سازگاری افزایش می‌یابد. این روند پس از رسیدن به حد قابل تحمل بیومس، با افزایش بارگذاری معکوس شده، راندمان حذف و تولید بیوگاز به طور مدام روند کاهشی دارد.

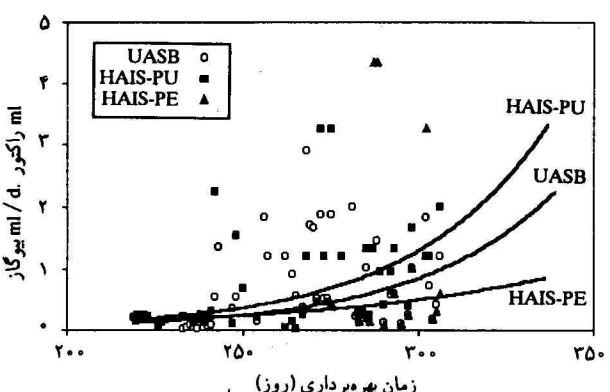
بیوگاز: در این مطالعه با توجه به بهره‌برداری سه راکتور در دمای $30+20^{\circ}\text{C}$ ، نسبت میزان تولید گاز به ازای واحد حجم راکتور در روز در راکتور UASB در محدوده $1-3\text{ ml/ml.d}$ ، در راکتور HAIS-PU در محدوده $7-3/2\text{ ml/ml.d}$ و در راکتور HAIS-PE در محدوده $8-4/4\text{ ml/ml.d}$ متغیر است. با وجود 75 درصد متان در بیوگاز، متان تولیدی در سه راکتور UASB، $2/25\text{ mlCH}_4/\text{ml.d}$ و HAIS-PE و HAIS-PU به ترتیب به میزان $1/5$ و $1/1$ متغیر است (شکل ۳).

در راکتوری که در دمای 35°C مورد بهره‌برداری قرار می‌گیرد، تولید مواد زائد تجزیه‌پذیر به سهولت معادل $1\text{ m}^3\text{ CH}_4/\text{m}^3\text{ d}$ است. به ازای هر 10°C کاهش در دمای بهره‌برداری راکتورهای بی‌هوایی،



شکل ۲. راندمان حذف COD و تولید بیوگاز در بارگذاری‌های مختلف آلی سطحی و حجمی در سه راکتور.

بارگذاری آلی در دوره‌ی عملکرد مطلوب برای راکتور UASB برابر $13 \pm 6\text{ gCOD.l}^{-1}\text{.d}$ ، و میزان بارگذاری آلی سطحی در دوره‌ی مذکور برای راکتور HAIS-PU به میزان 28 ± 12 و برای راکتور HAIS-PE به میزان $23 \pm 14\text{ gCOD.m}^{-2}\text{.d}^{-1}$ متغیر بود. افزایش غیرمتعارف در بارگذاری حجمی راکتورهای بی‌هوایی از بیومس در ثابت ممکن است فقط به تشکیل غلظت‌های بالایی از بیومس در داخل راکتور بیانجامد. ماهیت و اندازه‌ی بستر نگهدارنده بیوفیلم نقش عمده‌ی در تعیین غلظت بیومس، که می‌تواند در راکتور بستر ثابت باقی بماند، ایفا می‌کند. برای راکتورهای بستر ثابت، دانه‌ی یا قطعات کوچکتر بستر که در مطالعات در مقیاس آزمایشگاهی مورد استفاده قرار می‌گیرد، ممکن است منجر به برآوردهای غیرواقع‌بینانه از ماند جامدات و بارگذاری‌های قابل دست‌یابی در مقایسه با مقیاس‌های صنعتی شود. علاوه بر این، وجود بستر در تعیین غلظت



شکل ۳. نسبت حجم بیوگاز تولیدی به حجم مفید راکتور در روز در راکتورهای UASB، HAIS-PU و HAIS-PE.

پساب برای حفظ سرعت مطلوب (1m/h) در داخل راکتور ضرورت ندارد. برای نسبت‌های H/D بین ۱-۳ بهترین از کمتر از ۱ تاکمتر از ۱۰ درصد پساب برگشت داده می‌شود. با توجه به اینکه سرعت بهینه جریان فاضلاب در راکتورهای بستر ثابت برابر 1m/h ، و در راکتورهای بستر انبساط یافته (EB) برابر $7/5\text{m/h}$ ، و در راکتورهای بستر شناور (FB) برابر $12/5\text{m/h}$ فرض می‌شود، نسبت برگشت پساب در راکتورهای EB بین ۱ تا ۲۰ درصد و در راکتورهای FB بین ۱۰ تا $8/0$ درصد است.

در این مطالعه، با توجه به نسبت H/D بین ۱۵ در راکتور UASB، L/D برابر ۲۰ در HAIS-PU و L/D برابر ۱۵ در راکتور PE و HAIS-PU نیز با توجه به رقیق بودن فاضلاب ورودی

($\text{COD} = 1750 \pm 250 \text{ mg/l}$)، برگشت پساب ضرورت نداشت.

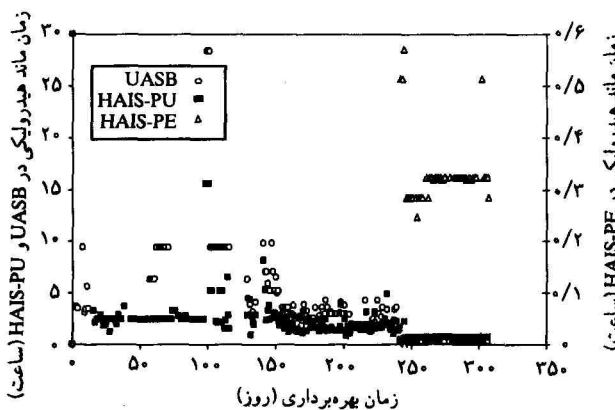
زمان ماند: مطالعات انجام شده بر روی سینتیک ریزاندامگان بی‌هوایی، حداقل رشد ویژه برای محیط کشت بی‌هوایی مخلوط در 35°C را معادل $4d^{-1}$ نشان می‌دهد. مطابق با این سرعت رشد، حداقل SRT (براساس معادله $SRT_{min} = 1/\mu_{max}$) $2/5$ روز است. اگر زمان ماند هیدرولیکی راکتور (HRT) بیشتر از این مقدار باشد، باکتری‌های بی‌هوایی می‌توانند به صورت رشد معلق در داخل فاز مایع تکثیر شوند. در HRT کمتر از $2/5$ روز، رشد ثابت غالب خواهد شد.

در این مطالعه، چنان که در شکل ۵ دیده می‌شود، زمان ماند هیدرولیکی (HRT) راکتور HAIS-PU&PE، UASB به ترتیب در گسترهای ۱-۲۸، $1-15/5$ و $1-2$ در تغییرند. HRT فرایند بستر ثابت را می‌توان تا $2/5$ ساعت کاهش داد. تعداد موارد HRT کمتر از $2/5$ ساعت در این مطالعه که مربوط به بارگذاری‌های بالاست، اندک است.

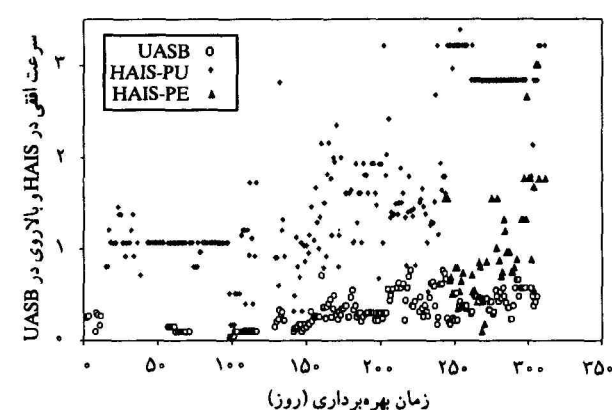
لازم است اندازه راکتور تقریباً ۲ برابر افزایش یابد. کمترین دما برای بهره‌برداری از راکتورهای بی‌هوایی حدود 10°C است، اگرچه در عمل، دمای 20°C حداقل دمای محافظه کاراندتر است.

هیدرولیک و اختلاط راکتورها: چنان که در شکل ۶ مشهود است، سرعت بالاروی در راکتور UASB بین $7/6\text{m/h}$ - $10/3\text{m/h}$ و سرعت افقی فاضلاب با درنظر گرفتن ضریب پوکی بستر در راکتور HAIS-PU بین $15/2\text{m/h}$ - $2/6\text{m/h}$ و در راکتور HAIS-PE بین $9/1\text{m/h}$ - $1/8\text{m/h}$ در تغییر است. در راکتورهای UASB سرعت بالاروی بهینه 5m/h عنوان شده است. در راکتورهای بی‌هوایی بستر ثابت همچون HAIS، سرعت مطلوب 1m/h گزراش شده است. در کلیه راکتورهای بی‌هوایی پیشرفتی اعم از UASB، راکتورهای بستر ثابت، بستر شناور و بستر انبساط یافته، در صورتی که فاضلاب ورودی رقیق شده باشد، برای برقراری سرعت مناسب از فاضلاب خام استفاده می‌شود؛ اما در مورد فاضلاب‌هایی با غلظت بالاتر، برای حفظ سرعت بالاروی و یا سرعت افقی با درنظر گرفتن شرایط بارگذاری آنی مناسب برگشت پساب ضرورت دارد. میزان برگشت پساب در راکتورهای بستر ثابت در حداقل مقدار نگه داشته می‌شود؛ علت این امر یکی نیاز به استفاده از نیروی زیاد برای برگشت دادن پساب، و دیگری پیشگیری از شسته و خارج شدن بیومس غیرچسبیده موجود در راکتور است. نیاز به سرعت‌های پائین، عاملی است که ارتفاع یا طول سیستم‌های بی‌هوایی بستر ثابت را محدود می‌کند.

با افزایش نسبت ارتفاع به قطر (H/D) در راکتورهای با جریان رو به بالا و رو به پایین، یا نسبت طول به قطر (L/D) در راکتورهای افقی، سرعت‌های واقعی بیشتری در راکتورها برقرار می‌شود. در راکتورهای بستر ثابت و برای نسبت‌های H/D بین ۳-۵، برگشت



شکل ۵. زمان ماند هیدرولیکی در راکتورهای HAIS-PU; UASB و HAIS-PE;



شکل ۶. سرعت روبه‌بالا در راکتور UASB، سرعت افقی در راکتورهای HAIS-PE و HAIS-PU.

برقراری رشد معلق در یک راکتور بی‌هوازی با لایه‌ی ثابت از طریق حفظ HRT کوتاه در راکتور امکان‌پذیر است. وقتی که رشد معلق مورد نظر باشد، بهره‌برداری راکتور به سمت فرایند رشد معلق با اختلاط کامل متمایل است که در این صورت بستر نگهدارنده نسبتاً بدون استفاده است. تحت چنین شرایطی پساب حاوی مقادیر زیادی جامدات معلق خواهد بود.

نسبت سطح به حجم بستر: انتقال جرم سوبستره به داخل بیومس زمانی سریع تر می‌شود که نسبت سطح به حجم ذرات نگهدارنده‌ی بیومس $(A/V)^3$ زیاد باشد. نسبت A/V در اغلب بسترها متعارف شامل حلقه‌های پلاستیکی درهم^۵ یا بسترها دارای کanal‌های مقاطع 6 mm^2 است. تحقیقات نشان می‌دهد که مساحت سطح ویژه‌ی بستر تا میزان $220\text{ m}^2/\text{m}^3$ در عملکرد راکتور بهبود قابل توجهی ایجاد نمی‌کند. در این مطالعه نسبت سطح به حجم بستر نگهدارنده‌ی راکتور HAIS-PU از جنس گرانول پلی یورتان برابر $110\text{ m}^2/\text{m}^3$ و در راکتور HAIS-PE از جنس فوم پلی اتیلن برابر $135\text{ m}^2/\text{m}^3$ است. نسبت A/V در راکتورهای بستر ثابت با جریان‌های روبه‌بالا و رو به پایین که اندازه‌ی قطعات بستر آنها $1-15\text{ cm}$ است، در محدوده $70-110\text{ m}^2/\text{m}^3$ است. در راکتورهای بستر انبساط یافته (EB) و بستر شناور (FB) که اندازه‌ی بستر آنها $0-3\text{ mm}$ است، نسبت A/V بین $4000-11000\text{ m}^2/\text{m}^3$ است. بر این اساس، نسبت A/V در راکتورهای HAIS در محدوده‌ی بین دونوع راکتور بستر ثابت و راکتور EB/FB قرار می‌گیرد.

$[A/V_{EB/EB}: 4000 - 11000\text{ m}^2/\text{m}^3] > [A/V_{HAIS}: 1100 - 11000\text{ m}^2/\text{m}^3]$
 $[A/V_{FB}: 70 - 200\text{ m}^2/\text{m}^3] > [A/V_{HAIS}: 1250\text{ m}^2/\text{m}^3]$

و اندازه‌ی دانه‌های بستر راکتورهای HAIS نیز در محدوده بین اندازه دانه‌های دونوع راکتور فوق قرار می‌گیرد.

$(EB/FB: 0-3\text{ mm}) < (HAIS: 3-5\text{ mm}) < (Bستر ثابت: 4-15\text{ mm})$

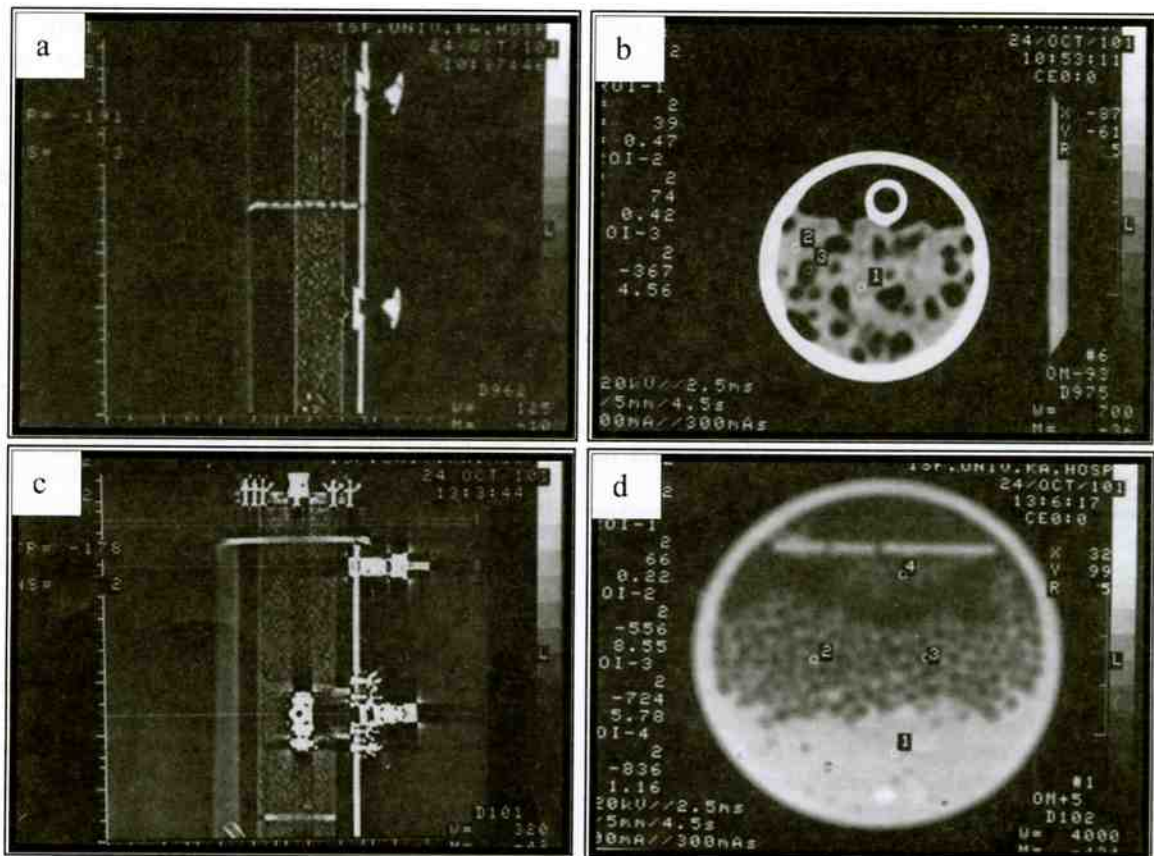
درصد پوکی بستر: درصد پوکی بستر در راکتورهای بستر ثابت $45-55\%$ درصد، در راکتورهای بستر انبساط یافته (EB) $50-60\%$ درصد گزارش شده است. درصد پوکی بستر در راکتور HAIS-PU با گرانول یورتان به عنوان بستر نگهدارنده حدود 38% و راکتور HAIS-PE با بستر فوم پلی اتیلن حدود 43% بود.

نتایج مطالعات نشان داده شده است که حجم پوکی اولیه‌ی بستر پس از گذشت یکسال از شروع بهره‌برداری راکتور بستر ثابت به دلیل تجمع جامدات زیست‌شناختی در بستر نگهدارنده تا 35% درصد کاهش یافته است. پس از گذشت دو سال از شروع بهره‌برداری، حجم

پوکی اولیه به میزان 80% کاهش یافته، که منجر به انسداد بستر و یا جریان با اتصال کوتاه^۷ شده است. در این زمان بستر با استفاده از برگشت بیوگاز شستشو داده شده است. این نتایج از طریق مشاهده مستقیم قسمتی از بستر پس از گذشت یکسال تأیید شده است. در این زمان ضخامت بیوفیلم بین $2-3\text{ میلی‌متر}$ بوده است. با فرض این که میزان رشد در تمام حجم راکتور یکنواخت و مشابه یکدیگر باشد، کاهش در میزان پوکی اولیه تقریباً 16% است.

اسکن بستر: در روز ۳۲۷ بهره‌برداری از راکتور HAIS-PU و روز ۹۹ بهره‌برداری از راکتور HAIS-PE با استفاده از دستگاه CT-Scan مقاطع ورودی، شیرهای ۱ تا ۴ و خروجی دوراکتور و نیز نمونه‌های شاهد شامل بستر نگهدارنده (گرانول پلی یورتان و فوم پلی اتیلن) با لجن اولیه بارور کننده و بدون لجن اولیه بارور کننده اسکن گردیده و عکس تهیه شد. هدف از این کار، پی بردن به نحوه شکل‌گیری بیومس در اطراف بستر نگهدارنده است، تا از این طریق بتوان در دوره‌های بعدی راهبری راکتور مجدداً از مقاطع مختلف راکتور اسکن تهیه کرد و تغییرات احتمالی در شکل‌گیری بیوفیلم را مشاهده نمود.

تحقیقات در مورد نفوذ سوبستره به داخل بیوفیلم بی‌هوازی ثابت نشان داده است که مقاومت بیوفیلم در برابر انتشار سوبستره، تازمانی که ضخامت بیوفیلم بین $0-3\text{ mm}$ تا $1-0\text{ میلی‌متر}$ برسد قابل توجه نخواهد بود. این نکته بیانگر آن است که مقاومت بیوفیلم در برابر انتشار عملاً اهمیتی ندارد، زیرا ضخامت بیوفیلم بی‌هوازی معمولاً کمتر از این مقادیر است. این فرضیه با ارائه‌ی گزارشی مبنی بر این که مقاومت بیوفیلم در راکتور بستر انبساط یافته‌ی دیگر دوست بدندرت از $0-0.5\text{ میلی‌متر}$ تجاوز می‌کند، تأیید شده است. در سیستم‌های گرمادوست عمق بیوفیلم تا میزان $17-0\text{ میلی‌متر}$ مشاهده شده است. در اسکن HAIS-PU (شکل ۶ الف و ب) شکل‌گیری بستر لجن در اطراف دانه‌های پلی یورتان مشهود است. علاوه بر این، با استفاده از روش اسکن CT امکان برآورد چگالی مقاطع اسکن شده وجود دارد. نظر به اینکه گستره‌ی اعداد در دستگاه اسکن CT برای بافت‌های سخت و نرم بدن انسان اعم از استخوان، ماهیچه‌ها، چربی، خون، و فضاهای خالی بین بافت‌ها تعریف شده است، می‌توان در راکتور، بافت‌ها را به طور نسبی تشخیص داد. چنان‌که در اسکن ۵ ب مریبوط به HAIS-PU مشخص شده است، شماره ۱ با چگالی [۳۹] مشابه بافت نرم یا خون است و به نظر می‌رسد که محل قرارگرفتن بیومس با غلظت کم (جامدات معلق) باشد. شماره ۲ با چگالی [۷۴] مشابه با لجن با غلظت بیشتر است و به نظر می‌رسد که محل قرارگیری



. شکل ۶. تصاویر اسکن راکتورهای HAIS-PE(d,c) HAIS-PU (b,a):

چگالی [۶۶]-[۶۷]، بیومس با غلظت بالا (احتمالاً بیوفیلم) است. شماره ۲ با چگالی [۵۵۶]-[۵۵۷] ذرات فوم است. شماره ۳ با چگالی [-۷۲۴]-[۷۲۵] احتمالاً گاز محبوس شده در داخل بیوفیلم و شماره ۴ با چگالی [۸۲۶]-[۸۲۷] بیوگاز است (شکل ۶ ج و د).

بیوفیلم بر روی سطح دانه‌ی پلی‌بورتان باشد. شماره ۳ با چگالی [-۲۶۷]-[۲۶۸] با چگالی هوا یا فضای خالی شبیه است و به نظر می‌رسد که محل تجمع بیوگاز باشد. دایره‌ی بزرگ بالای اسکن، مقطع لوله‌ی جمع آوری گاز را نشان می‌دهد. (شکل ۶ الف و ب).

در اسکن ۶۶ مریبوط به راکتور HAIS-PE با گذشت ۹۹ روز از زمان راهاندازی راکتور، در مقاطع تزدیک به ورودی راکتور و شیر ۱ فوم‌های احاطه شده توسط بیوفیلم به طور یکنواخت در مقطع راکتور دیده می‌شود. قسمت بالای اسکن صفحه‌ی شیارداری را نشان می‌دهد که بستر لجن را از قسمت‌های بالای راکتور جدا می‌کند و بالای این صفحه محفظه‌ی تجمع بیوگاز و انتقال آن به لوله‌ی جمع آوری کننده‌ی گاز را که در خارج راکتور واقع است، تشکیل می‌دهد.

در اسکن تهیه شده از تزدیک انتهای راکتور، فوم پلی اتیلن پوشیده شده از لایه‌ی نازک بیوفیلم و لجن بارور کننده‌ی اولیه، نشان‌دهنده‌ی آن است که در مقاطع آخر راکتور HAIS-PE هنوز بستر نگهدارنده بهخوبی در داخل لجن فرو نرفته است. در اسکن ۶۷ چهار نقطه با شماره‌های ۱، ۲، ۳ و ۴ مشخص شده است. شماره ۱ با

نتیجه نتایج این بررسی نشان داد که راکتور UASB با حفظ لجن دانه‌بندی شده در طول مدت زمان راهبری، و همچنین با دارا بودن قسمت کارآمد جداکننده‌ی گاز - مایع (GLS)، نسبت به راکتورهای HAIS-PE عملکرد بهتری دارد. در بین دو راکتور HAIS-PU، عملکرد راکتور HAIS-PU بهتر از راکتور HAIS-PE بود. این برتری می‌تواند با تخلخل بیشتر بستر (۶) در راکتور HAIS-PU (۰/۴۲) نسبت به راکتور HAIS-PE (۰/۰۲۸) در ارتباط باشد. اتصال کوتاه ناشی از تخلخل کم بستر می‌تواند علت اصلی این عملکرد باشد.

پانوشت

1. immobilized sludge
2. Cell-immobilization
3. infusion
4. surface-to-volume ratio
5. random plastic pall rings
6. crossflow modular media
7. short-circuiting
8. immobilized sludge

منابع

1. Torkian A. M. M. Amin, H. Movahedian, S. J. Hasheidian, M.S. Salehi, Performance evaluation of UASB system for treating slaughterhouse wastewater, *Scientia Iranica*, **9** (2), pp 176-180, (2002).
2. Varesche M.B. et.al. Microbial colonization of polyurethane foam matrices in horizontal-flow anaerobic immobilized-sludge reactor. *J. Appl. Microbiol. Biotechnol.*, **48**, pp 534-538, (1997).
3. Zaiat, M. et. al. Cell wash-out and external mass transfer Resistance in Horizontal-flow Anaerobic Immobilized Sludge Reactor. *J. Wat. Res.* **30** (10), pp 2435-2439, (1996).
4. Droste R.L. *Theory and practice of water and wastewater treatment*, Wiley. (1997).
5. Zaita M. et. al., Spatial and temporal variations of monitoring performance parameters in Horizontal-Flow Anaerobic immobilized Sludge (HAIS) reactor treating synthetic substrate. *J. Wat. Res.* **31** (7), pp 1760-1766, (1997).
6. Cadavid D.L. et. al. Performance of Horizontal-flow Anaerobic Immobilized Sludge (HAIS) reactor treating synthetic substrate subjected to decreasing COD to sulfate ratios. *J. Wat. Sci. Tech.* **39** (10-11), pp 99-106, (1999).
7. Malina J.F. & F.G. Pohland. *Design of anaerobic process for the treatment of industrial and municipal wastewaters*, technomics. (1992).
8. Gijzen, H. and F. Kansiime Comparison of start-up of an Upflow Anearobic Sludge Blanket reactor and a polyurethane carrier reactor. *J. Wat. Sci. Tech.* **34** (5-6), pp 509-515, (1996).
9. Jhung J.K., E. Chot. A comparative study of UASB and anaerobic fixed film reactors with development of sludge granulation, *J. Wat. Res.* **29** (1), pp 271-277, (1995).
10. Miyahard T. et. al. Role of filter media in an anaerobic fixed-bed reactor. *J. Wat. Sci. Tech.* **31** (9), pp 137-144, (1995).
11. Eckenfelder W. W. *Industrial Water Pollution Control*. Third Edition, McGraw-Hil. (1999).
12. Sarti A. et. al. Influence of the liquid-phase mass transfer on the performance of a packed-bed bioreactor for wastewater treatment. *J. Bioresource Technology*, (78), pp 231-238, (2001).
13. Zaita M. et. al., External and internal mass transfer in an anaerobic fixed-bed reactor for wastewater treatment. *J. Process Biochemistry*, **35**, pp 943-949, (2000).
14. APHA, WEF and AWWA, *Standard Methods for the Examination of Water and Wastewater*. 20th Ed. Clesceri, L.S., Greenberg, A.E., and Eaton, A.D. (eds.) American Public Health Association, Washington, DC. (1998).